

# تعیین وضعیت و سرعت زاویه‌ای نانوماهواره با حذف اثر دما و Albedo زمین به روش‌های قطعی و تصادفی

اعظم سادات سیدالنگی<sup>۱</sup>، محمدعلی علیرضاپوری<sup>۲</sup>

<sup>۱</sup>پژوهش‌گر دانشگاه صنعتی مالک اشتر، seyedalangi@gmail.com

<sup>۲</sup>پژوهش‌گر دانشگاه صنعتی مالک اشتر، MaaPouri@Mut.ac.ir

چکیده - در ماهواره‌ها محدودیت‌ها، مانع استفاده از حسگرهای دقیق تعیین وضعیت گشته و معمولاً حسگرهای غیردقیقی استفاده می‌شوند. چرخش ماهواره حول زمین، باعث بروز تغییرات دمایی، قرارگیری در سایه زمین و تغییرات Albedo دریافتی توسط حسگرها می‌گردد. در این مقاله الگوریتمی یکپارچه ارایه می‌گردد که از حسگرهای خورشید، حسگر مغناطیسی و ژایروی نرخی استفاده و اثر قرارگیری ماهواره در کسوف، بایاس ژایرو، تغییرات دمایی و اثر Albedo را در فرایند طراحی لحاظ می‌کند. این الگوریتم با تلفیق اطلاعات حسگرهای مختلف، روش مناسب (قطعی / بازگشتی) را انتخاب و پیاده‌سازی نشان دهنده‌ی کیفیت مناسب تخمین وضعیت در شرایط مختلف پروازی ماهواره است.

کلید واژه - تعیین وضعیت، روش بازگشتی، روش قطعی، نانوماهواره، Albedo زمین.

مغناطیسی زمین مورد استفاده قرار می‌گیرد که مدل IGRF یکی از آنهاست. این مدل هر ۵ سال به روز می‌شود و آخرین نسخه‌ی این مدل (IGRF-11) دارای دقت یکدهم نانوتسلا است [۴].

## ۱- مقدمه

با در اختیار داشتن موقعیت ماهواره، بردار میدان مغناطیسی و خورشید در دستگاه مختصات اینرسی محاسبه می‌گردد، همزمان حسگرهای خورشیدی و مغناطیس‌سنچ، بردارهای فوق را در دستگاه بدنی ماهواره اندازه‌گیری می‌کنند. به این ترتیب با در اختیار داشتن این بردارها و با استفاده از روش‌های قطعی، وضعیت ماهواره (میزان دوران دستگاه بدنی ماهواره نسبت به دستگاه مرجع اینرسی) محاسبه می‌گردد. مشخصه‌ی حسگرهای خورشیدی به کار گرفته شده در ماهواره تحت تأثیر دمای محیط تغییر می‌یابد. همچنین اثر بازتابش نور خورشید توسط کره‌ی زمین (Albedo)، با وارد نمودن تابش اضافی، عملکرد حسگر خورشیدی را تحت تأثیر قرار می‌دهد. این دو عامل باعث کاهش دقت تخمین وضعیت توسط روش‌های قطعی می‌گردد.

در حالتی که ماهواره در سایه‌ی زمین قرار دارد و نور خورشید به حسگرهای خورشیدی نمی‌رسد (کسوف)، تنها بردار مرجع و اندازه‌گیری میدان مغناطیسی در دسترس است و بنابراین از روش‌های قطعی نمی‌توان استفاده نمود. لازمه‌ی عملکرد روش‌های قطعی، داشتن حداقل دو اندازه‌گیری است. گزینه‌ی پیش رو در این شرایط، استفاده از الگوریتم‌های تخمین

تعیین وضعیت ماهواره به معنی به دست آوردن زوایای چرخش (اویلر) بدن ماهواره حول دستگاه مختصات مرجع (در این مقاله، دستگاه اینرسی) با استفاده از حسگرهای تعیین وضعیت است. حسگرهای تعیین وضعیت، جهت اندازه‌گیری کمیت‌هایی در دستگاه بدنی ماهواره استفاده می‌شوند. همان کمیت‌ها در دستگاه مختصات مرجع نیز با استفاده از مدل‌های موجود به دست می‌آیند. بهدلیل محدودیت‌های حجمی و وزنی در نانوماهواره‌ها، از حسگرهای با حجم، جرم و هزینه‌ی نسبتاً اند؛ مانند حسگرهای خورشید، مغناطیسی و ژیروسکوپ‌های ارزان قیمت استفاده می‌گردد. از این جهت در این مقاله، تنها از دو حسگر دقیق خورشیدی، یک حسگر مغناطیس‌سنچ و یک ژایرو برای تعیین وضعیت استفاده شده است.

با حرم نقطه‌ای فرض کردن ماهواره، زمین و خورشید [۱] و تعیین موقعیت و سرعت ماهواره با استفاده از مدل دو جسمی زمین و ماهواره [۲]، بردار (جهت) خورشید و بردار (جهت و اندازه) میدان مغناطیسی زمین در دستگاه مختصات زمین مرکز-زمین ثابت و به صورت روی برد در ماهواره، محاسبه می‌شود. لازم است برای تعیین وضعیت، این مدل‌ها (بردارها) را با استفاده از تبدیلات مناسب در دستگاه مختصات مرجع (اینرسی) بیان نمود [۳]. مدل‌های مرجع مختلفی برای مدل‌سازی میدان

در این معادله، دو متغیر  $\alpha$  و  $\beta$  از معادلات زیر به دست می‌آیند:

$$\begin{aligned} \alpha &= (1 + b_n^T * r_n) (a_1 b_1^T * r_1 + a_2 b_2^T * r_2) \\ &\quad + (b_n * r_n)^T (a_1 b_1 * r_1 + a_2 b_2 * r_2) \end{aligned} \quad (3)$$

$$\beta = (b_n + r_n)^T (a_1 b_1 * r_1 + a_2 b_2 * r_2) \quad (4)$$

ضریب‌های وزنی  $a_1$  و  $a_2$  براساس واریانس‌های معکوس خطاهای تصادفی اندازه‌گیری‌ها در ابتدا تعیین می‌شوند. در این مقاله، اندیس ۱ به حسگر خورشید اختصاص داده شده است که در مقایسه با حسگر مغناطیس سنج دارای دقت بالاتری است. بنابراین  $a_1$  برابر  $0.95$  و  $a_2$  برابر  $0.85$  در نظر گرفته شده است. با  $\gamma = \sqrt{\alpha^2 + \beta^2}$ ، دو معادله‌ی کواترنیون چرخش بهینه‌ی  $q_{opt}$  را به صورت رابطه‌ی (۵) به دست می‌دهد. این روش در مقایسه با سایر روش‌های قطعی موجود، از دقت و سرعت بالاتری برخوردار بوده و باز محاسباتی کمتری دارد.

$$q_{opt} = \begin{cases} \frac{1}{2\sqrt{\gamma(\gamma+\alpha)(1+b_n^T * r_n)}} * \\ \left[ (\gamma+\alpha)(b_n * r_n) + \beta(b_n + r_n) \right] & \text{for } \alpha \geq 0 \\ \frac{1}{2\sqrt{\gamma(\gamma+\alpha)(1+b_n^T * r_n)}} * \\ \left[ \beta(b_n * r_n) + (\gamma-\alpha)(b_n + r_n) \right] & \text{for } \alpha \leq 0 \end{cases} \quad (5)$$

## ۱-۲- وابستگی خطی در روش‌های قطعی

یکی از مسائل مهم در تعیین وضعیت قطعی، وابستگی خطی بین بردارهای مشاهده است. هنگام استفاده از روش تخمین کواترنیون، امکان بروز دو نوع وابستگی خطی متفاوت وجود دارد؛ وابستگی خطی بردارهای خورشید و میدان مغناطیسی و وابستگی خطی دستگاه‌های مختصات مرجع و بدن. بروز وابستگی خطی باعث می‌شود که اطلاعات یکتایی برای تعیین وضعیت در اختیار نباشد و حل مسئله به روش قطعی ممکن نخواهد بود. در این حالت می‌توان از آخرین وضعیت تعیین شده در تکرارهای بعدی نیز استفاده نمود تا وابستگی خطی منجر به رفتار اشتباہ تخمین گر وضعیت نگردد. پس از رفع مسئله وابستگی خطی، مجددًا می‌توان به الگوریتم قطعی

بازگشته است. اما تنها با در اختیار داشتن اندازه‌گیری حسگر مغناطیسی، معادلات دینامیکی سیستم رؤیت‌ناپذیر خواهند بود و در این شرایط به اندازه‌گیری دیگری برای حل مسئله‌ی رؤیت‌ناپذیری نیاز داریم. ژایروی نرخی، حسگری است که با استفاده از نداده‌های آن، می‌توانیم مشکل رؤیت‌پذیری را حل کنیم. مدت زمان طولانی عملکرد ماهواره عاملی است که باعث اهمیت یافتن بایاس ژایروی نرخی می‌گردد. از سوی دیگر به دلیل محدودیت‌های ذکر شده امکان استفاده از ژایروهای دقیق و با بایاس ناچیز نیز وجود ندارد. بنابراین این روش منجر به بروز خطاهای نسبتاً بزرگی با گذشت زمان می‌گردد.

در این مقاله، یک پیکربندی یکپارچه برای حل مسئله تعیین وضعیت ماهواره در شرایط کسوف و خارج از کسوف ارایه می‌گردد. تأثیر دما و Albedo بر عملکرد حسگر خورشیدی مدل و روشی برای جبران آن ارایه می‌گردد. همچنین با تخمین بایاس ژایروی نرخی توسط فیلتر کالمون، مسئله‌ی انتشار خط را برطرف می‌کنیم. مسئله‌ی انتقال از روش‌های قطعی به روش‌های بازگشته نیز، موضوع دیگری است که به آن پرداخته می‌شود.

## ۲- روش قطعی تخمین کواترنیون دو مشاهده‌ی بهینه

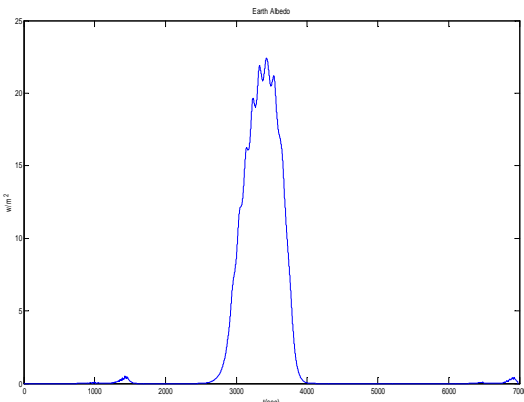
روش‌های مختلفی بر تخمین وضعیت با استفاده از دو بردار مشاهده توسعه یافته است. روش q داونپرتو، به عنوان روشی برای تخمین وضعیت با استفاده از دو بردار مشاهده در این مقاله مورد استفاده قرار می‌گیرد. این روش از سه جفت بردار برای تعیین وضعیت به شکل کواترنیون استفاده می‌کند؛ بردارهای اندازه‌گیری در دستگاه مختصات بدن، بردارهای مدل در دستگاه مختصات مرجع و دو بردار متعامد در دستگاه‌های مختصات بدن و مرجع به صورت معادله‌ی (۱) وجود دارند.

$$b_n = (b_1 * b_2) / |b_1 * b_2|, r_n = (r_1 * r_2) / |r_1 * r_2| \quad (1)$$

انتقال از دستگاه مختصات مرجع به دستگاه مختصات بدن، شامل چرخش حول  $r_n$  با زاویه‌ی اختیاری  $\phi_r$  است که با چرخش حول  $b_n$  با زاویه‌ی اختیاری  $\phi_b$ ، دنبال می‌شود. زاویه‌ی  $\phi$ ، مجموع دو زاویه‌ی  $\phi_r$  و  $\phi_b$  است که تابع هزینه‌ی زیر را حداقل می‌کند. البته معادلاتی که در این قسمت آورده می‌شود با فرض سنتونی بودن بردارهای اولیه است.

$$L(A) = a_1 + a_2 - (1 + b_n^T * r_n)^{-1} (\alpha \cos(\phi) + \beta \sin(\phi)) \quad (2)$$

حدود ۱۶ درجه است [۶]. بنابر هندسه‌ی زمین، تابش Albedo در جهت‌های مختلف وجود دارد (برخلاف تابش خورشیدی که که به دلیل فاصله بسیار زیاد زمین تا خورشید به صورت پرتوهای موازی و در یک جهت در نظر گرفته می‌شود) و همچنین اثر Albedo فقط در مناطق نزدیک به کره زمین قابل توجه است. در شکل زیر تغییرات Albedo زمین در یک دوره مداری ترسیم شده است. روش ساده‌ی جبران Albedo زمین، مقایسه‌ی یک جفت حسگر خورشید است و تنها از اندازه‌گیری حسگر خورشیدی ای که بیشترین حریان را تولید می‌کند، استفاده می‌شود. بنابراین فرض شده است که تنها این حسگر خورشید، مورد تشعشع خورشیدی است. الگوریتم حداقل حریان، خصوصاً برای ماهواره‌هایی که به سمت زمین نشانه‌روی می‌کنند، مؤثر است [۷].



شکل ۱: Albedo زمین محاسبه شده در بیش از یک دوره مداری.

با استفاده از این الگوریتم، بردار جهت خورشید محاسبه شده از حسگرهای غیر دقیق خورشیدی، در دستگاه مختصات بدنه به دست خواهد آمد. از این بردار برای تصحیح بردارهای اندازه‌گیری شده‌ی حسگرهای خورشید دقیق استفاده می‌شود. به این منظور ابتدا بردار بدست آمده از سلول‌های خورشیدی را به دستگاه‌های حسگرهای خورشیدی دقیق (دو حسگر) برده و در زمان‌هایی که بردار خورشید خارج از دید حسگرهاست (غیر از زمان‌های کسوف)، این بردار جایگزین آنها می‌شود. در انتها بردارهای حسگرهای دقیق اصلاح شده را به دستگاه مختصات بدنه برده و میانگین‌گیری کرده و بردار جهت خورشید در دستگاه مختصات بدنه‌ی نهایی بدست می‌آید.

دما نیز عاملی است که بر علمکرد حسگرهای تعیین وضعیت تأثیرگذار است. با فرض در اختیار داشتن دمای مکان نصب

بازگشت و در صورتی که برای مدت زمانی طولانی این وابستگی وجود داشته باشد، از الگوریتم‌های بازگشتی به جای الگوریتم قطعی استفاده می‌گردد.

## ۲-۲- تخمین سرعت زاویه‌ای در روش قطعی

حرکت زاویه‌ای ماهواره با مشتق‌گیری از کواترنیون خروجی تعیین وضعیت قطعی، تعیین می‌شود. کواترنیونی که وضعیت ماهواره را شرح می‌دهد برای محاسبه سرعت‌های زاویه‌ای استفاده می‌شود. زوایای اویلر حول محورهای  $x$ ,  $y$ ,  $z$  هستند که از خروجی کواترنیون  $q$  با استفاده از رابطه‌ی (۶) قابل دستیابی است.

$$\begin{aligned} \sin(\phi) &= \frac{-2(q_1 q_3 - q_2 q_2)}{1}, \\ \tan(\theta) &= \frac{2(q_1 q_1 + q_2 q_3)}{q_4^2 - q_1^2 - q_2^2 + q_3^2}, \\ \tan(\psi) &= \frac{2(q_1 q_2 + q_4 q_3)}{q_4^2 - q_1^2 - q_2^2 - q_3^2} \end{aligned} \quad (6)$$

بنابراین زوایای اویلر تعیین شده در معادله‌ی بالا برای تعیین سرعت زاویه‌ای ماهواره در معادله‌ی پائین استفاده می‌شوند:

$$\omega(k) = \frac{\varphi(k) - \varphi(k-1)}{\Delta T} (\alpha) + \omega(k-1)(1-\alpha) \quad (7)$$

$\alpha$  مقدار بهره‌ای است که برای تنظیم الگوریتم تعیین سرعت استفاده می‌شود. مقدار  $\alpha$  برابر یک در تعیین سرعت بسیار نویزی کاربرد دارد. در حالی که  $\alpha$  پائین دارای عملکرد صاف‌تری است [۵]. در این مقاله، مقدار این پارامتر برابر با ۰/۰۱ درنظر گرفته شده است.

## ۳-۲- حذف اثر Albedo زمین و دما

همان‌طور که در مقدمه ذکر شد، دقت حسگر غیردقیق خورشیدی با انعکاس انرژی خورشید از زمین، بسیار پائین می‌آید. تنها نیمی از زمین توسط خورشید روشن می‌شود و تنها بخش‌هایی از این نیمه توسط ماهواره قابل مشاهده است. این انعکاس نور خورشید از زمین که به ماهواره می‌رسد، همان اثر Albedo زمین است که در قسمت‌های مختلف زمین، بسیار متفاوت است. به عنوان مثال، نواحی قطبی و نواحی ماسه‌ای مانند بیابان‌ها نسبت به اقیانوس و نواحی جنگلی، مقدار بیشتری نور منعکس می‌کنند. نتایج نشان می‌دهد که این کاهش دقت در

در نظر گرفته شده است. در [۱۳] ماتریس  $(\nabla f_x(k))$ ، به صورت رابطه‌ی (۹) معروفی شده است.

$$\begin{aligned} \nabla f_x(k) &= \phi_k \begin{bmatrix} \phi_{11} & \phi_{12} \\ \phi_{21} & \phi_{22} \end{bmatrix}, \phi_{21} = 0_{3 \times 3}, \phi_{22} = I_{3 \times 3} \\ \phi_{11} &= I_{3 \times 3} - \left[ \hat{\omega}_k^+ \times \right] \frac{\sin(\|\hat{\omega}_k^+\| \Delta t)}{\|\hat{\omega}_k^+\|} + \\ &\quad \left[ \hat{\omega}_k^+ \times \right]^2 \frac{\{1 - \cos(\|\hat{\omega}_k^+\| \Delta t)\}}{\|\hat{\omega}_k^+\|^2}, \\ \phi_{12} &= \left[ \hat{\omega}_k^+ \times \right] \frac{\{1 - \cos(\|\hat{\omega}_k^+\| \Delta t)\}}{\|\hat{\omega}_k^+\|^2} - I_{3 \times 3} \Delta t - \\ &\quad \left[ \hat{\omega}_k^+ \times \right]^2 \frac{\{\|\hat{\omega}_k^+\| \Delta t - \sin(\|\hat{\omega}_k^+\| \Delta t)\}}{\|\hat{\omega}_k^+\|^3} \end{aligned} \quad (9)$$

$$G_k = \begin{bmatrix} -I_{3 \times 3} & 0_{3 \times 3} \\ 0_{3 \times 3} & I_{3 \times 3} \end{bmatrix} \quad (10)$$

$\hat{\omega}_k^+$  تخمین بردار سرعت زاویه‌ای بدن نسبت به اینرسی است. این بردار با استفاده از بایاس تخمین‌زده شده و بردار سرعت اندازه‌گیری شده توسط ژاپرو قابل محاسبه است.  $G_k$  نیز با استفاده از رابطه‌ی (۱۰) قابل محاسبه است. ماتریس نویز مدل  $Q_k$  نیز از رابطه‌ی (۱۱) قابل محاسبه است [۹].

$$Q_k = \begin{bmatrix} \left( \sigma_v^2 \Delta t + \frac{1}{3} \sigma_u^2 \Delta t^3 \right) I_{3 \times 3} & -\left( \frac{1}{2} \sigma_u^2 \Delta t^2 \right) I_{3 \times 3} \\ -\left( \frac{1}{2} \sigma_u^2 \Delta t^2 \right) I_{3 \times 3} & \left( \sigma_u^2 \Delta t \right) I_{3 \times 3} \end{bmatrix} \quad (11)$$

$\sigma_v^2$  و  $\sigma_u^2$  واریانس‌های مربوط به اندازه‌گیری ژاپرو هستند. ماتریس  $H$  مربوط به استفاده از اندازه‌گیری مغناطیس‌سنج به صورت زیر قابل محاسبه است:

$$H_{mag} = \left[ \begin{bmatrix} {}^B C^{-} B^i \times \end{bmatrix}, 0_{3 \times 3} \right] \quad (12)$$

به طوری که  ${}^B C$  با استفاده از بردار کواترنین بدن نسبت به اینرسی تخمین‌زده شده  $q_k^-$  در فیلتر محاسبه می‌شود [۱۳].

#### ۴- شبیه‌سازی عددی

حسگرهای خورشید دقیق و غیردقیق و حسگر مغناطیسی می‌توان اثر دما را بر روی آنها جبران نمود. با توجه به دمای بدست آمده از دماستجهای، اختلاف آن با دمای نقطه‌ی کار و ضریب دمایی، می‌توان میزان تغییرات دما را بر عملکرد حسگرهای تعیین وضعیت در نظر گرفت. برای مثال، می‌توان تغییر جریان تولیدی توسط حسگر خورشیدی غیردقیق را نسبت به دما محاسبه نموده و بنابراین میزان مطلق جریان ناشی از تابش خورشیدی را محاسبه می‌کنیم.

در صورتی که ماهواره در کسوف قرار داشته باشد، نمی‌توان از روش‌های قطعی فوق الذکر استفاده کرد. از این رو در بخش بعدی تخمین وضعیت با استفاده از فیلتر کالمون تعمیم یافته معرفی می‌گردد.

#### ۳- تخمین وضعیت بازگشتی با فیلتر کالمون تعمیم یافته

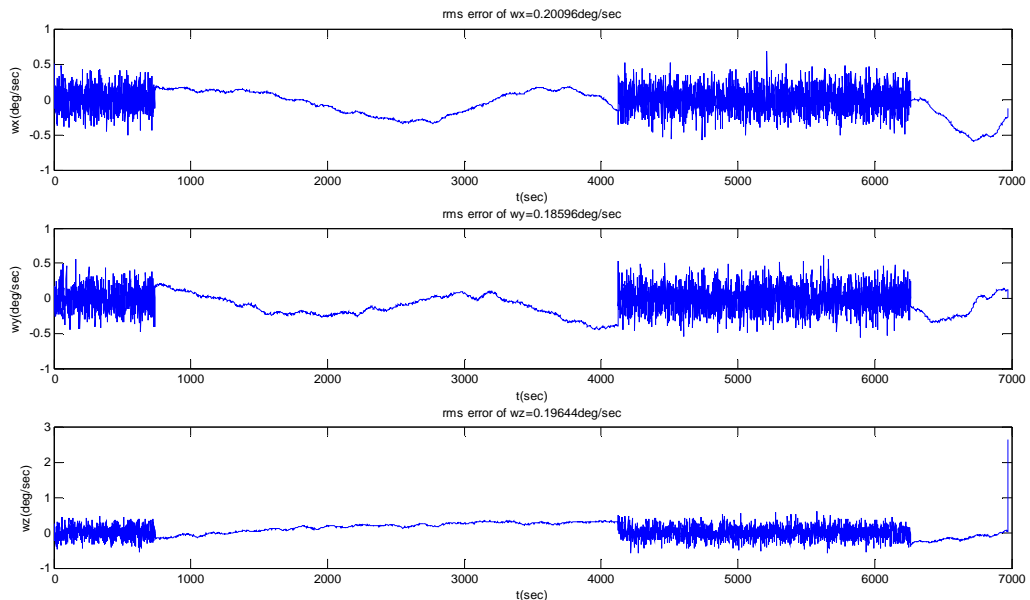
در شرایط کسوف ماهواره، تنها اطلاعات حسگر مغناطیسی در دسترس است. از این رو ممکن تخمین وضعیت یکتایی از وضعیت ماهواره با استفاده از روش‌های قطعی وجود ندارد. از این رو با ایستی از روش‌های بازگشتی برای تعیین وضعیت استفاده نمود. بررسی معادلات دینامیکی سیستم نشان می‌دهد که با در اختیار داشتن بردار مشاهده میدان مغناطیسی شرط رؤیت‌پذیری برآورده نمی‌شود. ژاپروی نرخی حسگری است که با تأمین داده‌های سرعت زاویه‌ای ماهواره و افزایش میزان مشاهدات، شرط رؤیت‌پذیری را ارضاء می‌کند.

ماهیت غیرخطی معادلات دینامیکی سیستم باعث می‌گردد تا فیلتر کالمون تعمیم یافته به عنوان الگوریتم بازگشتی جهت تعیین وضعیت مورد استفاده قرار گیرد. در این فیلتر، نویزهای فرایند و اندازه‌گیری، دارای میانگین صفر بوده و مستقل از هم هستند.  $(Q(k))$  ماتریس کواریانس نویز فرایند و  $(R(k))$  ماتریس کواریانس نویز اندازه‌گیری است. در [۱۲] جزئیات معادلات و روش طراحی فیلتر کالمون ارایه شده است. بردار حالت شامل بردار کواترنین بدن نسبت به دستگاه اینرسی  $q_{bi}$ ، بردار بایاس سرعت زاویه‌ای بدن نسبت به اینرسی در دستگاه بدن به صورت:  $\bar{\beta}_{BL}^B = [\beta_x \quad \beta_y \quad \beta_z]^T$

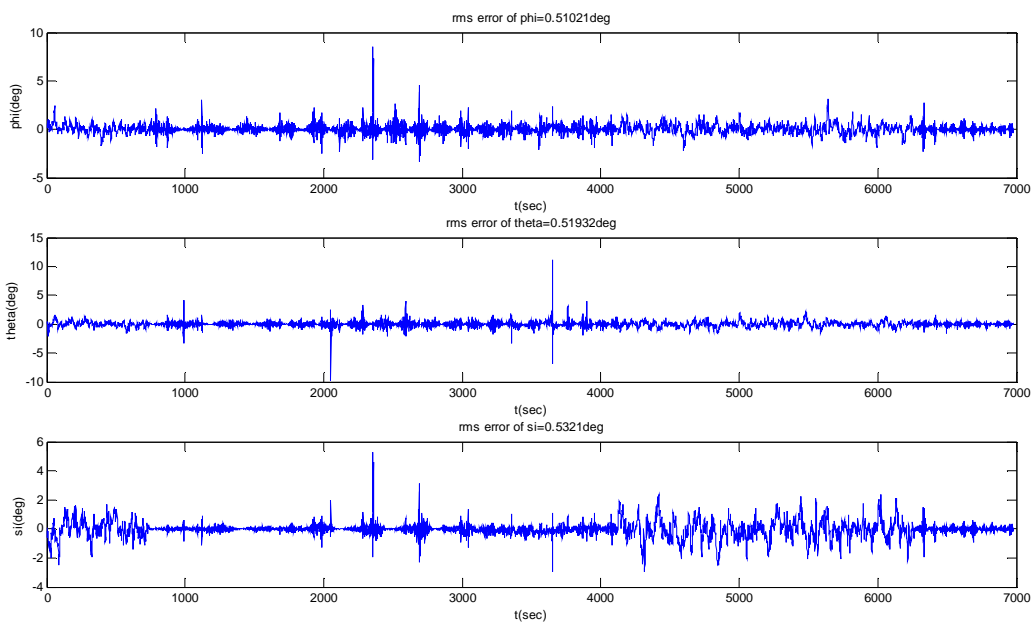
$$\dot{\hat{x}}_{k-1|k-1} = [q_1 \quad q_2 \quad q_3 \quad q_4 \quad \beta_x \quad \beta_y \quad \beta_z]^T \quad (13)$$

در نظر گرفته شده است. حسگر خورشیدی دقیق، با استفاده از دماسنجهای داخلی، اثرات تغییر دما بر اندازه‌گیری‌های و اثر Albedo زمین را در اندازه‌گیری‌ها حذف می‌کند [۸]. ضریب دمایی حسگر خورشیدی غیردقیق برابر  $0.28$  میلی آمپر در هر درجه‌ی سانتی‌گراد بوده و دمای نقطه‌ی کار پنل خورشیدی  $28$  درجه‌ی سانتی‌گراد است [۹]. حسگر مغناطیسی نیز تأثیر دما را به صورت روی برد جبران می‌کند [۱۰]. اثر دما بر حسگر نرخ

مجموع اغتشاشات ناشی از ناهمگونی زمین و اغتشاشات ناشی از نیروهای گرانشی اجرام آسمانی بر روی پارامترهای مداری ماهواره تأثیر می‌گذارند. همچنین گشتاورهای اغتشاشی مغناطیسی، آبودینامیکی و فشار خورشیدی نیز از اغتشاشات دیگری هستند که بر ماهواره وارد می‌شود و نادیده گرفتن آنها، باعث اختلاف زیاد نتایج به دست آمده با نتایج عملی می‌شود. با استفاده از مرجع [۱۴]، تمام این اغتشاشات در شبیه‌سازی



شکل ۲: خطای سرعت زاویه‌ای تخمین زده شده بدنه نسبت به اینرسی در بیش از یک دوره‌ی مداری



شکل ۳: خطای زوایای اویلر بدنه نسبت به دستگاه اینرسی در بیش از یک دوره‌ی مداری

الگوریتم ندارد، اثر Albedo بر روی حسگر خورشید غیردقیق بروطوف شده است، بیشترین اثر را در زمان استفاده از الگوریتم قطعی دارد، زیرا در این زمین ماهواره در کسوف قرار ندارد. اثر دما بر روی حسگرهای خورشید، مغناطیسی و ژایرو لحظه شده است و با تخمین بایاس ژایرو، کیفیت مناسب الگوریتم بازگشتی تضمین شده است. مهمترین ویژگی الگوریتم ارایه شده، طراحی و پیاده‌سازی یک الگوریتم یکپارچه با در نظر گرفتن ملاحظات پیاده‌سازی جهت تعیین وضعیت ماهواره است.

## مراجع

- [1] Chapter 4, *Attitude Determination*, Chris Hall, March 18 2003.
- [2] مارسل جی سیدی، "دینامیک و کنترل فضاییما یک رویکرد مهندسی کاربردی"، رضا اسماعیل زاده، علی قاسمی، مرتضی مرادی، انتشارات جاودان خرد، چاپ اول، ۱۳۹۰، صفحات ۴۵-۱۴.
- [3] Sturm II Erick Jonathan, *Magnetic Attitude Estimation of a Tumbling Spacecraft*, Master Thesis in AeroSpace Engineering, California Polytechnic State University, pp. 12-13, July 2005
- [4] Stray Fredrik, *Attitude Control of a NanoSatellite*, Master Thesis at OSLO Department of Physics, pp. 22-24, October 2010.
- [5] Krogh Kristian, Schreder Elmo, *Attitude Determination for AAU CubeSat*, Institute of Electronic Systems Department of Control Engineering, at Aalborg University, pp. 75-80, June 2002.
- [6] Svartveit Kristian, *Attitude Determination of The NCUBE Satellite*, Department of Engineering Cybernetics, pp.29, June, 2003.
- [7] Bhandari Dan D., *Spacecraft Attitude Determination with Earth Albedo Corrected Sun Sensor Measurements*, Ph.D. Thesis, Department of Control Engineering Aalborg University, pp. 15, 29, August 2005.
- [8] www.sinclairinterplanetary.com/digitalsunsensors.
- [9] 3G28C Solar Cell Data Sheet.
- [10] Smart Digital Magnetometer HMR2300 Data Sheet.
- [11] ADIS16400/ADIS16405 Data Sheet.
- [12] Durrant W.H., *The Kalman Filter, Tracking and Localization*, Part II in Introduction to Estimation and data Fusion, ARC Centre of Excellence for Autonomous Systems, Sydney University.
- [13] Tuthill Jason, *Design And Simulation of a Nanosatellite Attitude Determination System*, Master's Thesis at Naval Postgraduate School, Monterey, California, pp. 53-60, December 2009.
- [۱۴] رضا محسنی پور، "بکارگیری کنترل مقاوم بر روی کنترل وضعیت ماهواره‌های انعطاف‌پذیر"، پایان نامه کارشناسی ارشد، دانشگاه صنعتی مالک اشتر، ۱۳۸۹.

زاویه‌ای (ژایرو) با فرض دمای نقطه‌ی کار ۲۵ درجه‌ی سانتیگراد و ضریب دمایی  $\pm 40 ppm / {}^{\circ}C$ ، نیز حذف می‌شود [۱۱]. انحراف معیار نویز اندازه‌گیری مغناطیسی سنج را  $2/64 \times 10^{-7}$  تسلا،  $\Delta t$  زمان نمونه‌برداری در فیلتر کالمون برابر ۱ ثانیه، خطای بایاس اولیه ژایرو برابر مشیت و منفی ۳ درجه بر ثانیه، واریانس نویز سفید  $\sigma^2$  برابر  $0.0002 / 0.0002$  درجه بر محدوده ثانیه، واریانس نویز سفید  $\sigma^2$  برابر  $0.029 / 0.029$  درجه بر ثانیه است [۱۱].

در شکل‌های ۲ و ۳ نتایج شبیه‌سازی و تخمین سرعت زاویه‌ای و زوایایی اویلر ترسیم شده است. در شکل ۲، تخمین سرعت زاویه‌ای با فرض سرعت زاویه‌ای اولیه‌ی بدن نسبت به اینرسی [۱۱]  $100010/0010/0001$  رادیان بر ثانیه، ارایه شده است. توجه شود که از زمان صفر تا ۷۴۰ و از ۴۱۲۴ ثانیه تا انتهای دوره‌ی اول مداری، ماهواره در کسوف قرار دارد. همان‌طور که در شکل فوق الذکر مشخص است، برخلاف فیلتر کالمون که دقت خوبی در تخمین سرعت زاویه‌ای دارد، الگوریتم قطعی منتخب دارای دقت مناسبی در تخمین سرعت زاویه‌ای نیست. در صورتی که پارامتر  $\alpha$  برابر  $1/000$  درنظر گرفته شود، خطای تخمین سرعت زاویه‌ای در بیش از یک دوره مداری کمتر از  $0.2$  درجه بر ثانیه است. در شکل ۳، خطای زوایایی اویلر در زمان بیش از یک دوره مداری، آورده شده است. همان‌طور که در این شکل دیده می‌شود، عملکرد الگوریتم قطعی در تخمین وضعیت بهتر از فیلتر کالمون تعیین یافته است. خطای مؤثر در تعیین زوایایی اویلر در محدوده زمان شبیه‌سازی، حدود  $0.053$  درجه است.

## ۵- نتیجه‌گیری

بررسی نتایج شبیه‌سازی نشان دهنده‌ی عملکرد مناسب زیرسیستم تعیین وضعیت طراحی شده برای تخمین زوایایی اویلر و سرعت‌های زاویه‌ای ماهواره دارد و خطای مؤثر تخمین سرعت زاویه‌ای و زوایا در محدوده‌ی کاملاً قابل قبولی است. اما قیاس دو الگوریتم قطعی و بازگشتی تعیین وضعیت نشان دهنده‌ی عملکرد مناسب الگوریتم قطعی در تخمین زوایا و الگوریتم بازگشتی در تخمین سرعت دارد. در مقابل، الگوریتم قطعی در تخمین سرعت و الگوریتم بازگشتی در تخمین زوایا دقت کمتری دارند. علاوه بر این، انتقال از الگوریتم بازگشتی به الگوریتم قطعی به خوبی صورت می‌گیرد، مسئله‌ی وابستگی خطی بردارهای مشاهده در الگوریتم قطعی تأثیری بر عملکرد